

Abb. 30.9 Potentielle Verbreitung und Mächtigkeit von Schichtenfolgen der Hornburg-Formation im Bereich der nordöstlichen Saale-Senke (nach I. RAPPSILBER 2003)

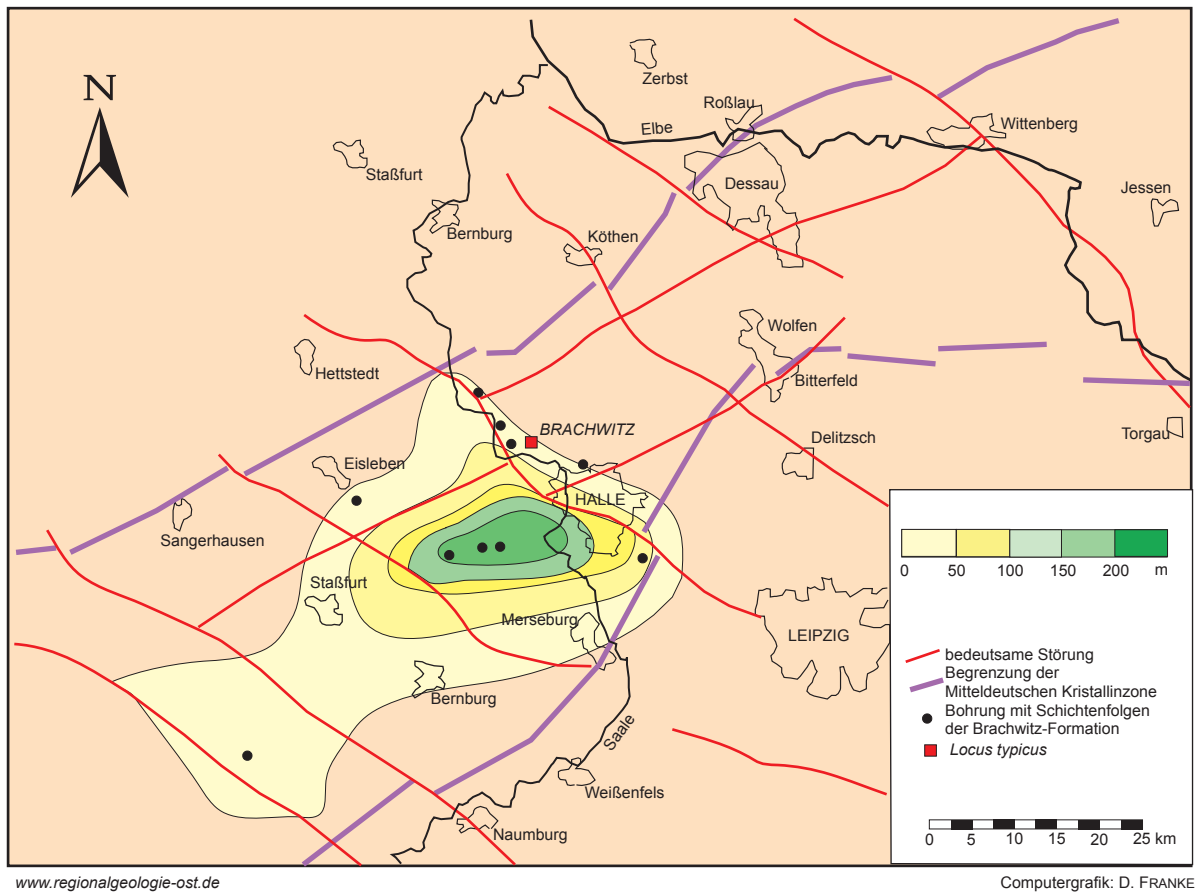


Abb. 30.10 Potentielle Verbreitung und Mächtigkeit von Schichtenfolgen der Brachwitz-Formation im Bereich der nordöstlichen Saale-Senke (nach I. RAPPSILBER 2003)